

大阪大学工学部 正員 橋木 亭
 大阪大学工学部 正員 岩田 好一郎
 大阪大学国費留学生 ホセ・カルロス・ペニア

1. 緒言：著者・橋木・岩田は49年度関西支部年講で鋼材を主体として透澈性防波堤として横スリット型防波堤をとり挙げてその物理特性(特に反射率と透過率)について理論解析を行ない、その後当社と水理実験により検証し結果を報告した。それによれば、例えは透過率を0.3以下にするためにはスリット部材の隙間比 $\epsilon/(c+D)$ (図-1参照)を0.05と極めて小さくする必要がありスリット型にして意味をあまり有さなくなる。また透過率と反射率の和が1となるために透過率が小さくなると反射率が大きくなり横スリット型防波堤1基のみでは透過率と反射率を同時に小さくすることはできないことが判明した。そこで著者らは横スリット型防波堤2基を用いる場合をとり挙げて、反射率と透過率を同時に小さくする方法について検討を加えてその結果を報告する次第である。

2. 複列横スリット型防波堤の反射率と透過率：a)理論解析：図-1に示すような2基の防波堤が設置されてする場合の反射率 γ_R^* と透過率 γ_T^* は2つの防波堤間での波の反射と復反射を考えると、おおむね(1式)、(2式)で与えられる。²⁾

$$\gamma_R^* = \frac{\sqrt{\gamma_R^{*2} + 2\alpha^2 \gamma_{R1} \gamma_{R2} (\gamma_{T1}^2 - \gamma_{R1}^2) \cos 4\pi c/L + \alpha^4 \gamma_{R2}^2 (\gamma_{T1}^2 - \gamma_{R1}^2)^2}}{\sqrt{1 - 2\alpha^2 \gamma_{R1} \gamma_{R2} \cos 4\pi c/L + \alpha^4 \gamma_{R1}^2 \gamma_{R2}^2}} \quad (1)$$

$$\gamma_T^* = \alpha \gamma_{T1} \gamma_{T2} / \sqrt{1 - 2\alpha^2 \gamma_{R1} \gamma_{R2} \cos 4\pi c/L + \alpha^4 \gamma_{R1}^2 \gamma_{R2}^2} \quad (2)$$

なお、上式で、添字R=反射、T=透過、1=オ1番目の防波堤、2=オ2番目の防波堤を示す。例えは、 γ_{R1} はオ1番目の防波堤の反射率を示す。また、 $\alpha = e^{-\varepsilon \pi c/L}$ 、 $\varepsilon = \text{波高減衰係数}$ 、 $L = \text{水深}$ などの波長である。なお、各防波堤につけては、 $\gamma_{T1} + \gamma_{R1} = 1$ 、 $\gamma_{R2} + \gamma_{T2} = 1$ の関係式が成立している。

(1)式、(2)式によれば、 γ_R^* と γ_T^* に及ぼす c/L 、 γ_{R1} 、 γ_{R2} の効果が判明する。これら c/L の効果については橋木・岩田が既に明らかにしている。しかし、 γ_{R1} と γ_{R2} の効果については検討されていない。本論でそつ効果について論じていくこととする。

(1)式によれば、設置距離 c/L に対する γ_{R1} と γ_{R2} と適当な組合せ

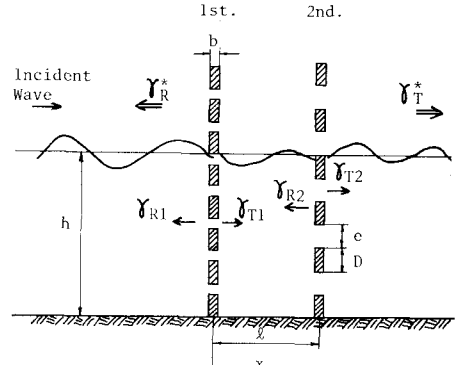


図-1 記号の説明

せると γ_R^* を極めて小さくすることができるのである。またこの組合せを図表化し、さらに γ_T^* と γ_{R1} と γ_{R2} の関係も同時にそつ図に示せば、所要の γ_T^* と γ_R^* を求めることが可能である。たとえば、 $\gamma_{R1} = 0.14$ 、 $\gamma_{R2} = 0.2$ 、 $\gamma_{T1} = 0.29$ と $\gamma_{R2} = 0.80$ など)にすればよいことになる。そつ組合せに対する γ_R^* の値もまた図-2からわかる。また、所要の γ_T^* と γ_R^* に対する γ_{R1} と γ_{R2} の組合せも求めることができることもわかるであろう。

b)水理実験：上述の解析の妥当性を検討するため次の条件で実験が行なわれた。すなわち、周期 1.2 sec 、波高 4.5 cm 、一種の入射波、水深 $h = 25\text{ cm}$ 、 $D = 2\text{ cm}$ 、 $b = 1\text{ cm}$ と固定し、 $c/L = 0.25, 0.5, 0.75$ 、 $\gamma_{R1} = 0.05 \sim 0.6$ 、 $\gamma_{R2} = 0.252 \sim 0.662$ と変えて行なっている。反射率はHealyの方法により、透過率は後列防波堤より

1/2波長離れた奥での波高を透過波として採用して算定する。なおスリット型波堤の静水面下の突込み率とは水底までとていう。図-3は $\ell/L=0.25$ で、 $\gamma_{R2}=0.252$ の場合の γ_{R1} と γ_R^* と γ_T^* の関係を示したものであり、同図には(1)式、(2)式の理論値も同時に示してある。同図によれば、実験値と理論値が比較的よく一致していることが認められる。また、図-4は $\ell/L=0.5$ の場合で、 $\gamma_{R2}=0.662$ 、 $\gamma_{R2}=0.252$ の二種類の場合について γ_R^* と γ_T^* と γ_{R1} の関係を示したものである。同図によれば、 $\gamma_{R2}=0.662$ の場合は反射率 γ_R^* が理論値より幾分小さくなっているが、その他の場合には極めてよく実験値と理論値が一致していることが認められる。したがって、このことより、2列横スリット型防波堤の反射率 γ_R^* と透過率 γ_T^* は防波堤間での波の反復反射を考慮して導いた(1)式と(2)式で算定できることが明らかになった。

以上、反射率 γ_R^* と透過率 γ_T^* 同時に小さくする場合について述べてきたが、透過率 γ_T^* のみを論ずる場合に(2)式のみ用いるとよいことにする。図-2にてオ $\ell/L=0.25, 0.75, \dots, 1/(2n-1)$ の場合について考えてみると、 $\gamma_{R1}=0.4$ ($\gamma_1=0.6$)と $\gamma_{R2}=0.6$ ($\gamma_2=0.4$)の場合、 γ_T^* は0.2に低減することができるであろう。

なお、この種の位相差を利用した工法を現地に適用する場合には、現地不規則波に対する効果を充分検討しないわけにはならない。著者らは、この点について目下検討中であり別の機会にそつ結果を報告するつもりである。

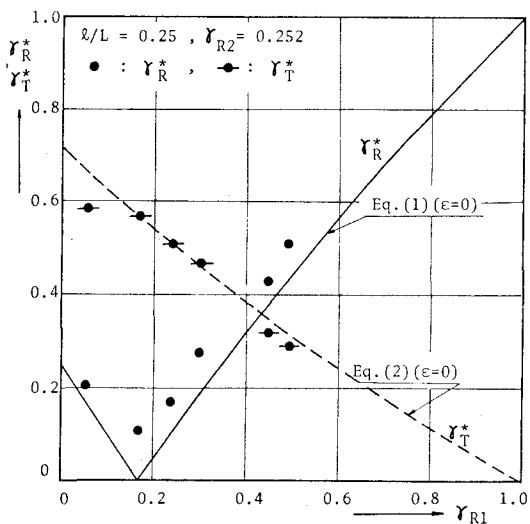


図-3 γ_R^* と γ_T^* に及ぼす γ_{R1} の効果
($H/L=0.0271$, $\gamma_L=0.151$)
 $\ell/L=0.25$

参考文献

- 1) 横木亭・岩田好一郎・森永勝登：横スリット型防波堤の水理特性について(1)，49年近畿支部年講演集
- 2) 横木亭・岩田好一郎：透過性構造物による波の変形について，第19回海岸工学講演会論文集，1972。

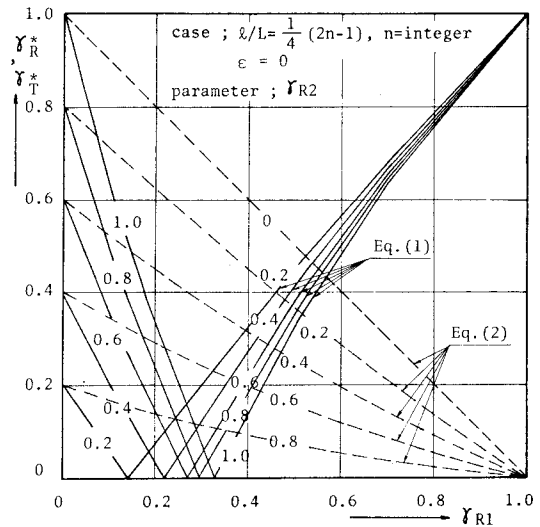


図-2 γ_R^* と γ_T^* と γ_{R1} との関係(計算例)

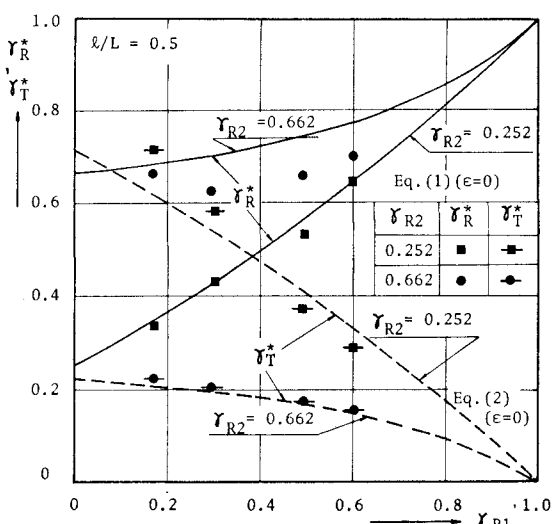


図-4 γ_R^* と γ_T^* に及ぼす γ_{R1} の効果
($H/L=0.0271$, $\gamma_L=0.151$, $\ell/L=0.5$)